

# СПИНОВЫЕ ВОЛНЫ В ФЕРМИ-ЖИДКОСТИ КВАЗИДВУМЕРНЫХ ПРОВОДНИКОВ

*В. Г. Песчанский\*, Д. И. Степаненко*

*Физико-технический институт низких температур им. Б. И. Веркина Национальной академии наук Украины  
61103, Харьков, Украина*

**В рамках теории ферми-жидкости исследованы спиновые волны в слоистых проводниках с законом дисперсии носителей заряда, допускающим открытые траектории в импульсном пространстве.**

PACS: 72.15.Nj, 75.30.Fv

В присутствии сильного магнитного поля при низких температурах в плазме взаимодействующих электронов нормальных металлов могут существовать различные слабо затухающие колективные моды бозевского типа, большинство из которых имеет аналоги в газовом приближении. Характерным только для электронной ферми-жидкости типом возбуждений, обусловленных корреляционными эффектами, являются спиновые волны, предсказанные Силиним [1] и обнаруженные экспериментально в щелочных металлах Шульцем и Данифером [2].

В вырожденных проводниках с квазидвумерным энергетическим спектром носителей заряда область существования спиновых волн оказывается шире, чем в металлах [3, 4]. В слоистых проводниках, обладающих металлическим типом проводимости, даже в условиях сильной пространственной дисперсии возможно распространение спиновых волн при любом направлении волнового вектора [4]. Это связано с тем, что при определенных ориентациях магнитного поля, существенно отклоненного от слоев, скорость дрейфа электронов проводимости оказывается величиной второго порядка малости по параметру  $\eta$  низкоразмерности электронного энергетического спектра. В результате отсутствует затухание Ландау и колебание спиновой плотности угасает за время релаксации в системе электронов и их спинов, т. е. в бесстолкновительном пределе является незатухающим. Ранее мы рассматривали спиновые волны в случае, когда изоэнергетические поверхности имеют вид гофрированного цилиндра с изотропным в

плоскости слоев спектром. Экспериментальные исследования гальваномагнитных явлений в слоистых структурах [5, 6], в частности органических проводников семейства солей тетратиафульвалена, показывают, что поверхность Ферми ( $\Pi\Phi$ ) может состоять из топологически различных элементов, например в виде гофрированных плоскостей.

В настоящей работе исследованы спиновые волны в слоистых проводниках с анизотропным законом дисперсии носителей заряда, допускающим открытые траектории в  $p$ -пространстве.

Рассмотрим следующий закон дисперсии носителей заряда:

$$\varepsilon(\mathbf{p}) = \varepsilon_0 + A \cos \frac{p_x}{p_1} + B \cos \frac{p_y}{p_2} + \tilde{C} \cos \frac{p_z}{p_0}. \quad (1)$$

Постоянные  $A$ ,  $B$ ,  $\tilde{C}$  будем считать положительными величинами, при этом  $\tilde{C} = \eta(AB)^{1/2}$  порядка  $\eta\varepsilon_F$ ,  $\varepsilon_0$  — постоянная,  $\varepsilon_F - \varepsilon_0 \equiv \varepsilon_1 > 0$ ,  $\varepsilon_F$  — энергия Ферми. Параметры  $p_1 = \hbar/a_1$ ,  $p_2 = \hbar/a_2$ ,  $p_0 = \hbar/a_0$  однозначно связаны с основными периодами решетки  $a_1$ ,  $a_2$ ,  $\hbar$  — постоянная Планка,  $a_0$  — расстояние между слоями. При  $A = B$  все открытые изоэнергетические поверхности имеют вид гофрированного цилиндра с анизотропией в плоскости слоев. Если  $A$  заметно отлично от  $B$ , то возможны открытые изоэнергетические поверхности в виде гофрированных плоскостей.

В слоистых проводниках в магнитном поле, отклоненном от слоев  $\mathbf{B}_0 = (B_0 \sin \vartheta, 0, B_0 \cos \vartheta)$ , при  $\eta \tan \vartheta \ll 1$  все сечения  $\Pi\Phi$  плоскостью  $p_B = (\mathbf{p} \cdot \mathbf{B}_0)/B_0 = \text{const}$  почти неразличимы, а циклотронная частота электрона в основном

---

\*E-mail: vpeschansky@ilt.kharkov.ua

приближении по параметру  $\eta$  не зависит от  $p_B$ . Если угол  $\vartheta$  близок к  $\pi/2$ , то замкнутые сечения сильно вытянуты и электрон не успевает за время свободного пробега  $\tau$  совершить полный оборот по такой орбите в импульсном пространстве. В случае  $\operatorname{tg} \vartheta \geq 1/\eta$  некоторые из этих электронных орбит являются самопересекающимися и период движения электрона  $T(p_B)$  по такой орбите логарифмически расходится.

В магнитном поле, расположенному в плоскости слоев, т. е. когда  $\vartheta = \pi/2$ , подавляющее большинство сечений ПФ плоскостью  $p_B = p_x = \text{const}$  открыты, и лишь незначительное число сечений вблизи опорной точки ПФ является замкнутым. При такой ориентации магнитного поля все носители заряда дрейфуют в плоскости слоев, а веер всевозможных направлений дрейфа электронов заполняет всю плоскость  $xy$ .

В основном приближении по малому параметру  $\eta \operatorname{tg} \vartheta \ll 1$  в уравнениях движения квазичастицы

$$\begin{aligned} \frac{dp_x}{dt} &= \frac{eB_0}{c} \cos \vartheta v_y, \\ \frac{dp_y}{dt} &= \frac{eB_0}{c} (-v_x \cos \vartheta + v_z \sin \vartheta), \\ p_z &= \frac{p_B}{\cos \vartheta} - p_x \operatorname{tg} \vartheta \end{aligned} \quad (2)$$

можно опустить слагаемое, содержащее скорость электрона вдоль нормали к слоям. В результате система (2) сводится к уравнению физического маятника для линейных комбинаций проекций импульса  $p_x^{(0)}/p_1 \pm p_y^{(0)}/p_2$ . Здесь  $e$  — заряд электрона,  $c$  — скорость света. Полагая для определенности  $B \geq A$ , после простых преобразований получим

$$\begin{aligned} p_{x,y}^{(0)}(t, \kappa_0) &= p_{1,2} \left\{ \operatorname{am} \left( \kappa_0 \lambda(\kappa_0) \Omega(t + t_0), \frac{1}{\kappa_0} \right) \pm \right. \\ &\quad \left. \pm \operatorname{am} \left( \kappa_0 \lambda(\kappa_0) \Omega(t + t_0 + C), \frac{1}{\kappa_0} \right) \right\}, \end{aligned} \quad (3)$$

где

$$\begin{aligned} \lambda(\kappa_0) &= \frac{2K(\kappa_0)}{\pi}, \quad \kappa_0^2 = \frac{(A+B)^2 - \varepsilon_1^2}{4AB}, \\ \operatorname{am} \left( \kappa \lambda \Omega t, \frac{1}{\kappa} \right) \end{aligned}$$

— амплитуда эллиптического интеграла,  $K(\kappa_0)$  — первый эллиптический интеграл,

$$\Omega = \frac{\pi |e| B_0 \sqrt{AB}}{2K(\kappa_0) c p_1 p_2} \cos \vartheta$$

— циклотронная частота в нулевом приближении по  $\eta$ ,

$$C = \frac{1}{\lambda \Omega} \int_{\varepsilon_1/(A+B)}^1 \frac{dz}{\sqrt{(1-z^2)(z^2-1+\kappa_0^2)}}.$$

Постоянную  $t_0$ , определяющую начальную фазу, можно выбрать из условия  $p_x^{(0)}(0, \kappa_0) = 0$ , тогда  $t_0 = -C/2$ .

Если параметры энергетического спектра  $A, B, \varepsilon_1$  таковы, что  $\kappa_0 < 1$ , то амплитуда эллиптического интеграла является ограниченной функцией:

$$\operatorname{am} \left( \kappa_0 \lambda \Omega t, \frac{1}{\kappa_0} \right) = \arcsin \kappa_0 \operatorname{sn}(\lambda \Omega t, \kappa_0)$$

и траектории электронов замкнуты. Здесь и далее  $\operatorname{sn}, \operatorname{cn}, \operatorname{dn}$  — эллиптические функции Якоби.

Хотя система уравнений (2) интегрируема в квадратурах, ее решения не могут быть представлены в явном виде. В случае финитного движения для нахождения асимптотического решения системы (2) можно воспользоваться методом усреднения [7]. Переайдем от переменных  $p_x, p_y$  к переменным  $\psi, \kappa$  с помощью замены

$$p_x = p_x^{(0)}(\psi, \kappa), \quad p_y = p_y^{(0)}(\psi, \kappa). \quad (4)$$

Параметр  $\psi$  определяет фазу колебаний, а  $\kappa$  является аналогом амплитуды в квазилинейной теории. Вместо системы уравнений (2) получим систему с быстро врачающейся фазой:

$$\begin{aligned} \frac{d\kappa}{dt} &= \eta \frac{\alpha \Omega}{\Delta(\kappa)} \sin \left( \alpha \frac{p_x^{(0)}(\psi, \kappa)}{p_1} - \beta \right) \times \\ &\quad \times \frac{1}{p_1} \frac{\partial p_x^{(0)}(\psi, \kappa)}{\partial \psi} \equiv \eta X(\psi, \kappa), \\ \frac{1}{\Omega} \frac{d\psi}{dt} &= 1 - \eta \frac{\alpha}{\Delta(\kappa)} \sin \left( \alpha \frac{p_x^{(0)}(\psi, \kappa)}{p_1} - \beta \right) \times \\ &\quad \times \frac{1}{p_1} \frac{\partial p_x^{(0)}(\psi, \kappa)}{\partial \kappa} \equiv 1 + \eta Y(\psi, \kappa), \end{aligned} \quad (5)$$

где

$$\alpha = \frac{p_1}{p_0} \operatorname{tg} \vartheta, \quad \beta = \frac{p_B}{p_0 \cos \vartheta}, \quad \eta = \frac{\tilde{C}}{\sqrt{AB}},$$

$$\Delta(\kappa) = -\frac{2\nu\kappa}{\sqrt{1-\nu^2\kappa^2}}, \quad \nu = \frac{2\sqrt{AB}}{A+B}.$$

В соответствии с асимптотическими методами нелинейной механики [7] в первом приближении по  $\eta$  решения системы (5) можно представить в виде

$$\kappa = \bar{\kappa} + \eta v(\varphi, \bar{\kappa}), \quad \psi = \varphi + \eta u(\varphi, \bar{\kappa}), \quad (6)$$

где функции  $v$  и  $u$  определяются выражениями

$$\begin{aligned} v(\varphi, \bar{\kappa}) &= \int_{-\bar{\kappa}}^{\bar{\kappa}} d\varphi X(\varphi, \bar{\kappa}) = \\ &= -\frac{\eta}{\Delta(\bar{\kappa})} \cos \left( \alpha \frac{p_x^{(0)}(\varphi, \kappa)}{p_1} - \beta \right), \\ u(\varphi, \bar{\kappa}) &= \int_{-\bar{\kappa}}^{\bar{\kappa}} d\varphi (Y(\varphi, \bar{\kappa}) - \langle Y(\varphi, \bar{\kappa}) \rangle_\varphi), \end{aligned} \quad (7)$$

а «усредненные» переменные  $\bar{\kappa}$ ,  $\varphi$  удовлетворяют уравнениям

$$\begin{aligned} \frac{d\bar{\kappa}}{dt} &= \eta \langle X(\varphi, \bar{\kappa}) \rangle_\varphi = 0, \\ \frac{1}{\Omega} \frac{d\varphi}{dt} &= 1 + \eta \langle Y(\varphi, \bar{\kappa}) \rangle_\varphi. \end{aligned} \quad (8)$$

Здесь

$$\langle \dots \rangle_\varphi = \frac{1}{2\pi} \int_0^{2\pi} d\varphi \dots$$

Решения системы уравнений (8)

$$\begin{aligned} \bar{\kappa} &= \kappa_0 + \Delta\kappa = \text{const}, \\ \varphi &= \Omega (1 + \eta \langle Y(\varphi, \bar{\kappa}) \rangle_\varphi) t \equiv \Omega_B(\beta) t \end{aligned} \quad (9)$$

вместе с формулами (3), (4), (6), (7) определяют траекторию электрона  $\mathbf{r}(t)$  с законом дисперсии (1) в первом приближении по  $\eta$ , где  $\Delta\kappa \propto \eta$  можно найти из уравнения  $\varepsilon(\mathbf{p}(t)) = \varepsilon_F$  при  $t = 0$ . Компоненты скорости электрона несложно определить из уравнений движения (2) дифференцированием соответствующих компонент импульса.

Если  $\kappa_0 > 1$ , то ПФ представляет собой гофрированную плоскость и траектория электрона становится открытой, но в направлении, перпендикулярном магнитному полю, квазимпульс  $p_y(t)$  остается ограниченной периодической функцией времени. Для нахождения асимптотики решений уравнений движения при  $\kappa_0 > 1$  следует ввести новую переменную  $\tilde{p}_x(t) \equiv p_x(t) - 2p_1\Omega t$  и применить проделанные выше операции по отношению к функциям  $\tilde{p}_x(t)$ ,  $p_y(t)$ .

В случае, когда квантование уровней энергии носителей заряда не существенно  $\hbar\Omega < T \ll \eta\varepsilon_F$  ( $T$  — температура), ферми-жидкостное взаимодействие может быть описано с помощью корреляционной функции Ландау–Силина [8, 9]:

$$L(\mathbf{p}, \hat{\sigma}, \mathbf{p}', \hat{\sigma}') = N(\mathbf{p}, \mathbf{p}') + S(\mathbf{p}, \mathbf{p}')\hat{\sigma}\hat{\sigma}',$$

где  $\hat{\sigma}$  — матрицы Паули.

Как следует из формул (2), (3), в квазидвумерных проводниках при  $\eta \tan \vartheta \ll 1$  не только энергия носителей заряда в одноэлектронном приближении  $\varepsilon(\mathbf{p})$ , но и дополнительная энергия, связанная с эффектами межэлектронного взаимодействия, слабо зависят от проекции импульса на направление магнитного поля  $p_B$ . Это означает, что корреляционная функция Ландау может быть разложена в асимптотический ряд по степеням  $\eta$ . В нулевом приближении по малому параметру  $\eta$  функции  $N(\mathbf{p}, \mathbf{p}')$  и  $S(\mathbf{p}, \mathbf{p}')$  не зависят от  $p_B$  и могут быть представлены в виде рядов:

$$\begin{aligned} N(\mathbf{p}, \mathbf{p}') &= \sum_{n=-\infty}^{\infty} N_n(\varepsilon_F) e^{i(\varphi-\varphi')}, \\ S(\mathbf{p}, \mathbf{p}') &= \sum_{n=-\infty}^{\infty} S_n(\varepsilon_F) e^{i(\varphi-\varphi')}. \end{aligned} \quad (10)$$

Парамагнитные спиновые волны представляют собой высокочастотные колебания спиновой плотности  $\mathbf{g}(\mathbf{p}, \mathbf{r}, t) = S_p \hat{\sigma} \hat{\rho}(\mathbf{p}, \mathbf{r}, \boldsymbol{\sigma}, t)$ , при  $\omega \gg \tau_1^{-1}$ ,  $\tau_2^{-1}$ , где  $\tau_1$  и  $\tau_2$  — времена релаксации импульса и спиновой плотности,  $\hat{\rho}(\mathbf{p}, \mathbf{r}, \boldsymbol{\sigma}, t)$  — матрица плотности. Для малых отклонений от равновесного состояния функцию  $\mathbf{g}(\mathbf{p}, \mathbf{r}, t)$  можно представить в виде суммы равновесной части

$$\mathbf{g}_0(\varepsilon) = -\mu \mathbf{B}_0 \frac{\partial f_0(\varepsilon)}{\partial \varepsilon}$$

и малой неравновесной добавки

$$\delta \mathbf{g}(\mathbf{p}, \mathbf{r}, t) = -\Xi(\mathbf{p}, \mathbf{r}, t) \frac{\partial f_0(\varepsilon)}{\partial \varepsilon},$$

где  $f_0(\varepsilon)$  — фермиевская функция,  $\mu = \mu_0/(1 + S_n^\sim)$ ,  $\mu_0$  — магнитный момент электрона проводимости,  $S_n^\sim = \nu(\varepsilon_F)S_n$ ,  $\varphi(\varepsilon_F)$  — плотность состояний на уровне Ферми.

Компоненты  $\Phi^{(\pm)} = \Phi_{x_1} \pm i\Phi_y$  перенормированной ферми-жидкостным взаимодействием неравновесной добавки к спиновой плотности

$$\begin{aligned} \Phi(\mathbf{p}, \mathbf{r}, t) &= \Xi(\mathbf{p}, \mathbf{r}, t) + \int \frac{d^3 p'}{(2\pi\hbar)^3} \left( -\frac{\partial f_0(\varepsilon')}{\partial \varepsilon'} \right) \times \\ &\quad \times S(\mathbf{p}, \mathbf{p}') \Xi(\mathbf{p}', \mathbf{r}, t) \equiv \Xi + \langle S \Xi \rangle, \end{aligned} \quad (11)$$

которые мы полагаем пропорциональными  $\exp(-i\omega t + ik \cdot r)$ , удовлетворяют интегральным уравнениям [4]

$$\begin{aligned} \Phi^{(\pm)} = & \int_{-\infty}^{\varphi} d\varphi' \times \\ & \times \exp \left( \frac{i}{\Omega_B} \int_{\varphi'}^{\varphi} d\varphi'' (\tilde{\omega} \mp \Omega_s - \mathbf{k} \cdot \mathbf{v}(\varphi'', p_B)) \right) \times \\ & \times \left( i \frac{\mu_0}{\Omega_B} (\mathbf{k} \cdot \mathbf{v}(\varphi', p_B) - \Omega_s) B_{\pm}^- - \right. \\ & \left. - i \frac{\omega}{\Omega_B} \sum_{p=-\infty}^{\infty} \lambda_p \overline{\Phi}_p^{(\pm)} e^{ip\varphi'} \right). \quad (12) \end{aligned}$$

Здесь  $\Phi_{x_1} = \Phi_x \cos \vartheta - \Phi_z \sin \vartheta$ , ось  $x_1$  направлена перпендикулярно оси  $y$  и вектору  $\mathbf{B}_0$ ,

$$\overline{\Phi}_p^{(\pm)} \equiv \langle e^{-ip\varphi} \Phi^{(\pm)} \rangle / \langle 1 \rangle, \quad \lambda_p = \frac{S_p^{\sim}}{1 + S_p^{\sim}}, \quad \tilde{\omega} = \omega + i0,$$

$B_{\pm}^{\sim} = B_{x_1}^{\sim} \pm iB_y^{\sim}$  — циркулярно поляризованные компоненты переменного магнитного поля,

$\Omega_s = \omega_s / (1 + S_0^{\sim})$ ,  $\omega_s = -2\mu_0 B_0 / \hbar$  — частота спинового парамагнитного резонанса.

Коэффициенты ряда Фурье плавной функции  $S(\mathbf{p}, \mathbf{p}')$  быстро убывают с ростом их номера, поэтому в уравнении (12) достаточно ограничиться конечным числом членов ряда. Умножая это уравнение на  $e^{-in\varphi}$  и интегрируя по переменным  $\varphi$  и  $\beta = p_B / (p_0 \cos \vartheta)$ , получим систему линейных алгебраических уравнений для коэффициентов  $\overline{\Phi}_p^{(\pm)}$ . Частота собственных колебаний спиновой плотности с точностью до членов, пропорциональных статической магнитной восприимчивости  $\chi_0 \sim \nu(\varepsilon_F) \mu_0^2$ , определяется из уравнения

$$\det \left| \delta_{np} - \lambda_p \frac{\omega}{\Omega} \langle f_{np}(\beta) \rangle_{\beta} \right| = 0, \quad (13)$$

где

$$f_{np}(\beta) = \frac{1}{2\pi i} \frac{\int_0^{2\pi} \int_0^{2\pi} d\varphi d\varphi_1 \exp \left\{ i(p-n)\varphi - ip\varphi_1 - \frac{i}{\Omega_B} \int_{\varphi-\varphi_1}^{\varphi} d\varphi (\tilde{\omega} \mp \Omega_s - \mathbf{k} \cdot \mathbf{v}(\varphi, p_B)) \right\}}{1 - \exp \left\{ \frac{i}{\Omega_B} \int_0^{2\pi} d\varphi (\tilde{\omega} \mp \Omega_s - \mathbf{k} \cdot \mathbf{v}(\varphi, p_B)) \right\}},$$

$$\langle \dots \rangle_{\beta} = \frac{1}{2\pi} \int_{-\pi}^{\pi} d\beta \dots,$$

$\delta_{np}$  — символ Кронекера.

Условие отсутствия бесстолкновительного поглощения для спиновых волн сводится к выполнению неравенства

$$\omega \mp \Omega_s - n\Omega - \langle \mathbf{k} \cdot \mathbf{v} \rangle_{\varphi} > 0. \quad (14)$$

Вне области значений  $\omega$ ,  $\mathbf{k}$ , соответствующей условию (14), функции  $f_{np}(\beta)$  имеют полюс и после интегрирования по  $p_B$  дисперсионное уравнение приобретает мнимую часть, ответственную за сильное поглощение волны.

Вследствие особенностей электронного энергетического спектра проекция дрейфовой скорости электронов  $\mathbf{v}_{\mathbf{D}} = \langle \mathbf{v} \rangle_{\varphi}$  на направление  $\mathbf{k}$

$$\begin{aligned} \mathbf{k} \cdot \mathbf{v}_{\mathbf{D}} = \langle \mathbf{k} \cdot \mathbf{v} \rangle_{\varphi} = & -\frac{ck_x}{eB_0 \cos \vartheta} \left\langle \frac{dp_y}{dt} \right\rangle_{\varphi} + \\ & + \frac{ck_y}{eB_0 \cos \vartheta} \left\langle \frac{dp_x}{dt} \right\rangle_{\varphi} + (k_x \operatorname{tg} \vartheta + k_z) \langle v_z \rangle_{\varphi} \quad (15) \end{aligned}$$

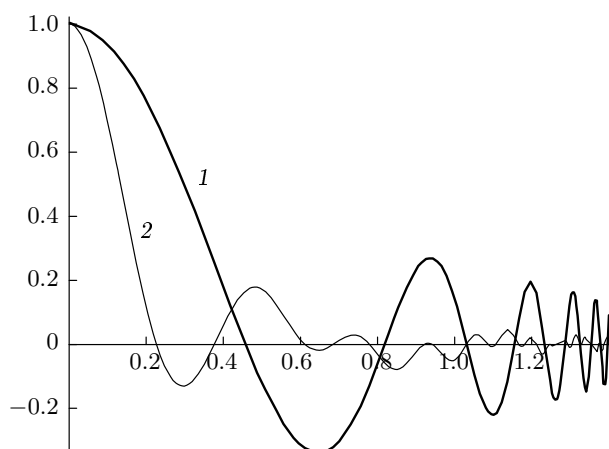
может оказаться пренебрежимо малой величиной, даже в случае  $kr_0 \gg 1$ , где  $v_0 = \sqrt{AB}/p_0$  — характерная скорость электрона в плоскости слоев,  $r_0 = v_0/\Omega$ . В этих условиях существуют решения дисперсионного уравнения (11) в окрестности резонанса:

$$\omega = n_1 \Omega \pm \Omega_s + \frac{n_1 \Omega \pm \Omega_s}{\pi kr_0} \gamma_i, \quad n_1 = 1, 2, \dots, \quad (16)$$

где  $\gamma_i$  — корни уравнения

$$\det \left| \delta_{np} - (-1)^{n_1} \lambda_p \gamma_i^{-1} \langle I_{np}(\beta) \rangle_{\beta} \right| = 0, \quad (17)$$

$$\begin{aligned} I_{np}(\beta) = & \frac{kv_0}{\sqrt{|\mathbf{k} \cdot \mathbf{v}'_{\varphi}(\delta) \mathbf{k} \cdot \mathbf{v}'_{\varphi}(\delta + \pi)|}} \times \\ & \times \left\{ \cos \left[ (n-p) \frac{\pi}{2} \right] + (-1)^{p+1} \times \right. \\ & \left. \times \sin \left[ \frac{1}{\Omega_B} \int_{\delta}^{\pi+\delta} d\varphi \mathbf{k} \cdot \mathbf{v} - (n-p) \frac{\pi}{2} \right] \right\}, \quad (18) \end{aligned}$$



Зависимость функции  $F(\vartheta)$  от  $\vartheta$ : кривая 1 — при  $A = B$ ,  $\kappa = 0.9$ ,  $p_1/p_0 = 3$ ; кривая 2 — при  $B/A = 2.547$ ,  $\kappa_0^{-1} = 0.9$ ,  $p_1/p_0 = 3$ ,  $\varepsilon_1/(A + B) = 0.4$

$\mathbf{v}'_\varphi(\varphi) \equiv \partial \mathbf{v}(\varphi)/\partial \varphi$ ;  $\delta$  и  $\delta + \pi$  — корни уравнения  $\mathbf{k} \cdot \mathbf{v}(\varphi) = 0$ .

В случае, когда в разложении (10) корреляционной функции в ряд Фурье достаточно ограничиться нулевой и первой гармониками, выражение (17) представляет собой квадратное уравнение относительно  $\gamma_i$ . В квазизотропных проводниках при  $\eta = 1$  существование спиновых волн в окрестности резонанса в условиях сильной пространственной дисперсии возможно лишь для  $\mathbf{k} \perp \mathbf{B}_0$ .

При  $\kappa_0 < 1$  дрейфовая скорость является осциллирующей функцией  $\alpha = (p_1/p_0) \operatorname{tg} \vartheta$ :

$$\mathbf{k} \cdot \mathbf{v}_D = -\eta v_0 (k_x \operatorname{tg} \vartheta + k_z) F(\vartheta) \sin \beta, \quad (19)$$

где

$$F(\vartheta) = \langle \cos(\alpha p_x^{(0)}(\varphi, \bar{\kappa})/p_1) \rangle_\varphi.$$

Для некоторых углов  $\vartheta$  между магнитным полем  $\mathbf{B}_0$  и нормалью к слоям  $F(\alpha) = 0$  и скорость  $\mathbf{v}_D$  является величиной второго порядка малости по  $\eta$  и затухание Ландау практически отсутствует. Для этих ориентаций  $\mathbf{B}_0$  существование коллективных мод возможно даже при условии  $\eta k v_0 \geq \Omega$ ,  $k v_0 / \Omega \gg 1$  при произвольных направлениях волнового вектора  $\mathbf{k}$ .

Решения дисперсионного уравнения вида (16) существуют и при  $\kappa_0 > 1$ . В случае, когда  $\mathbf{k} = (k_x, 0, k_z)$ , среднее значение  $\mathbf{k} \cdot \mathbf{v}$  сохраняет вид (19). При этом спектр спиновых волн в окрестности резонанса определяется формулами (16)–(18), в которых под  $\Omega$  нужно понимать частоту осцилляций скорости электрона.

Графики  $F(\vartheta)$  при  $\kappa_0 < 1$  и при  $\kappa_0 > 1$  для характерных значений параметров приведены на рисунке.

Условия возбуждения спиновых волн с частотами, близкими к резонансным частотам (16), оказываются более благоприятными, чем в квазизотропных металлах с аналогичными временами релаксации импульса и спиновой плотности, поскольку в их формировании участвуют практически все носители заряда с энергией Ферми.

## ЛИТЕРАТУРА

1. В. П. Силин, ЖЭТФ **35**, 1243 (1958).
2. S. Schultz and G. Dunifer, Phys. Rev. Lett. **18**, 283 (1967).
3. В. Г. Песчанский, Д. И. Степаненко, Письма в ЖЭТФ **78**, 772 (2003).
4. О. В. Кириченко, В. Г. Песчанский, Д. И. Степаненко, ЖЭТФ **126**, 1435 (2004).
5. J. Singleton, Rep. Progr. Phys. **63**, 1111 (2000).
6. M. V. Kartsovnik, Chem. Rev. **104**, 5737 (2004).
7. Н. Н. Боголюбов, Ю. А. Митропольский, *Асимптотические методы в теории нелинейных колебаний*, Наука, Москва (1974).
8. Л. Д. Ландау, ЖЭТФ **30**, 1058 (1956).
9. В. П. Силин, ЖЭТФ **33**, 495 (1957).